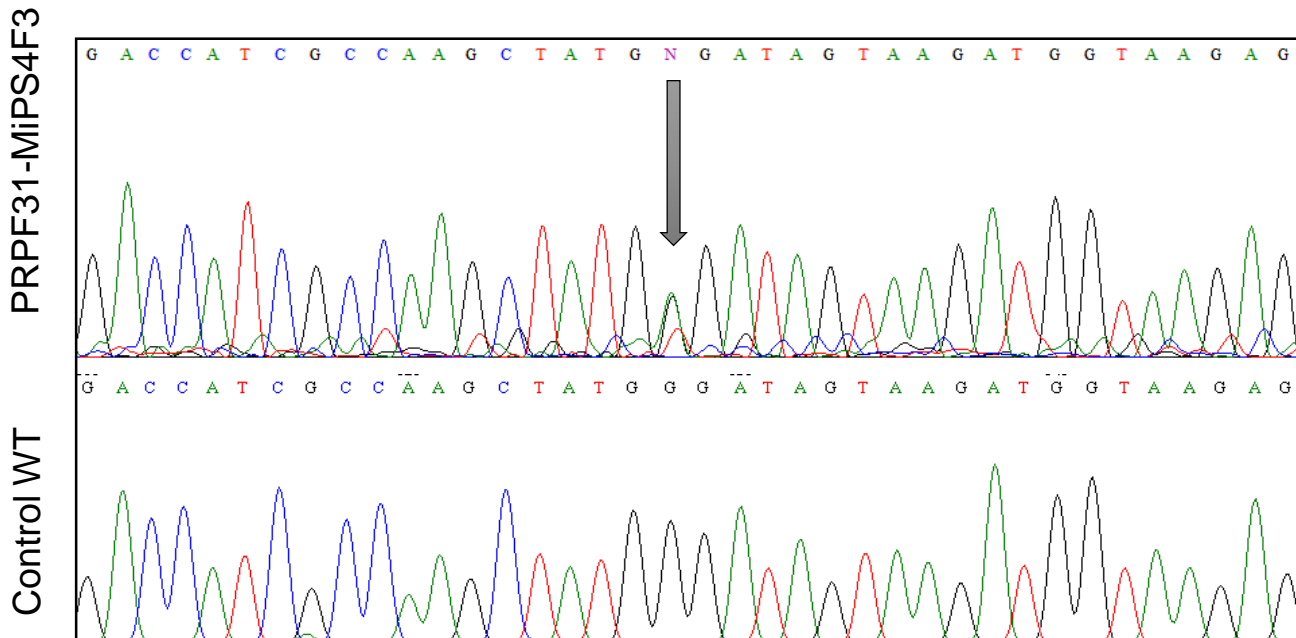


## ANEXO 1

### Secuencia de PRPF31-MiPS4F3 y control WT en la región de la mutación.

La flecha indica el sitio de la mutación A/G que causa un codón stop. PRPF31-MiPS4F3 presenta la mutación en heterocigosis.

*Sanger sequencing of the mutation and surrounding genomic region of PRPF31-MiPS4F3 and a WT control. Arrow indicates the point mutation A/G producing a stop codon. PRPF31-MiPS4F3 is a heterozygote for the mutation.*



PRPF31-MiPS4F3 :

GGGGATTCAAGACCATGCCAAGCTATG**A**GATAGTAAGATGgt  
aagaggacaagagggtttcctagcagggggctctag

WT control:

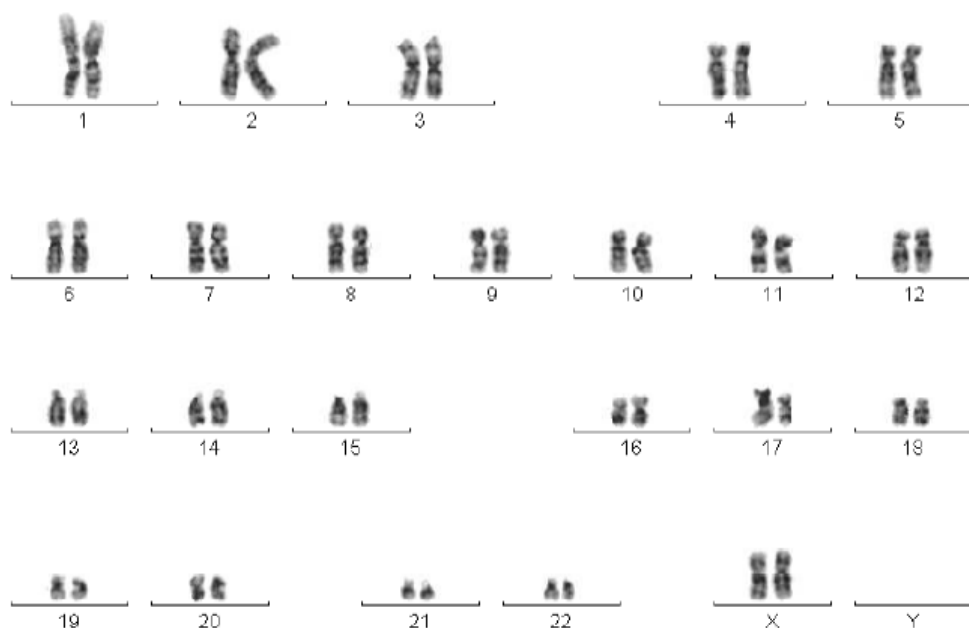
GGGGATTCAAGACCATGCCAAGCTATG**G**GATAGTAAGATGg  
taagaggacaagagggtttcctagcagggggctctag

## **ANEXO 2**

### **Cariotipo/bandeo G Caryotype/ G-banding**

Trabajo realizado por el Biobanco de SSPA, centro de Granada, a partir de una muestra de células iPS es PRPF31-MiPS4F3.

*Results provided by SSPA Biobanc of Granada, from a sample of es PRPF31-MiPS4F3.*



Cariotipo: 46,XX

Diagnóstico citogenético: Línea celular compatible con un cariotipo femenino normal

*Cytogenetic diagnostic:*

*Cell line compatible with a normal female caryotype.*

**ANEXO 3**  
**Análisis STR**  
*Fingerprint analysis*

Trabajo realizado en el Biobanco del SSPA, centro de Granada, a partir de muestras de ADN genómico de la línea PRPF31-MiPS4F3 y de las células primarias (PBMCs).

*Results provided by the SSPA Biobanc of Granada from genomic DNA sample from both primary cells (PBMCs) and PRPF31-MiPS4F3 .*

	PBMCs	PRPF31-MiPS4F3
AMEL	X,X	X,X
CSF1PO	8, 12	8, 12
D13S317	8, 11	8, 11
D26S539	9, 12	9, 12
D21S11	30, 31	30, 31
D5S818	11, 12	11, 12
D7S820	9, 1	9, 1
TH01	9,9.3	9,9.3
TPOX	10, 11	10, 11
vWA	17, 18	17, 18

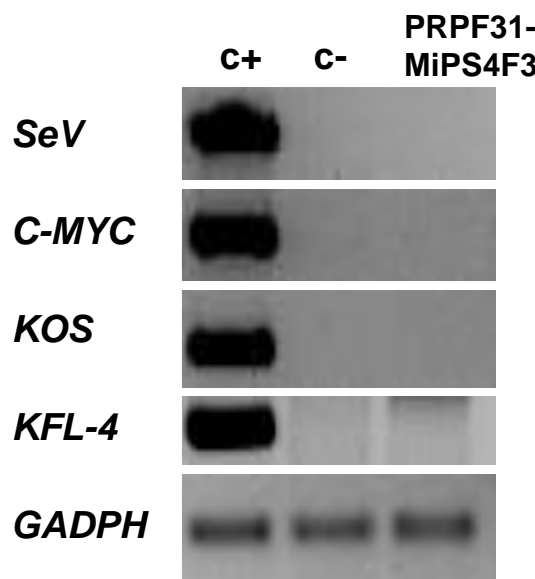
## **ANEXO 4**

### **Análisis silenciamiento**

*Viral silencing analysis*

Se realiza rtPCR para detectar factores de reprogramación ectópicos y gen que codifica la cápsida del virus. c+ es PRPF31-MiPS4F3 en pase 1, c- es una muestra de las células primeras (PBMCs). En el tercer carril se muestra el silenciamiento del virus en la línea PRPF31-MiPS4F3 a pase 6.

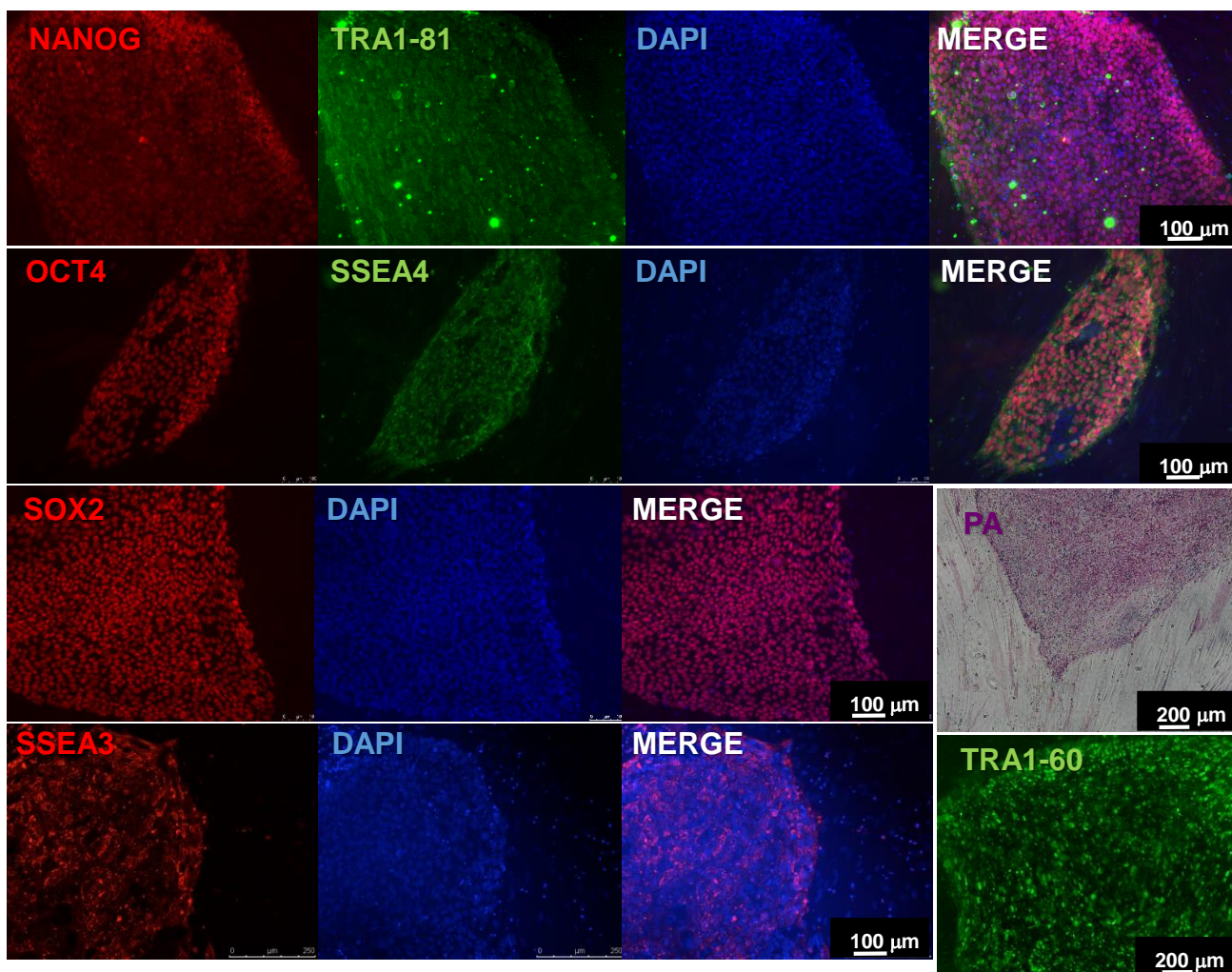
*rtPCR to detect ectopic reprogramming factors and capsid gene. c+ is PRPF31-MiPS4F3 at passage 1 and c- is a primary cell sample (PBMCs). The third lane shows the silencing of the virus in the PRPF31-MiPS4F3 line at passage 6.*



## ANEXO 5

### Caracterización de pluripotencia por inmunofluorescencia y test fosfatasa alcalina (PA) de la línea PRPF31-MiPS4F3.

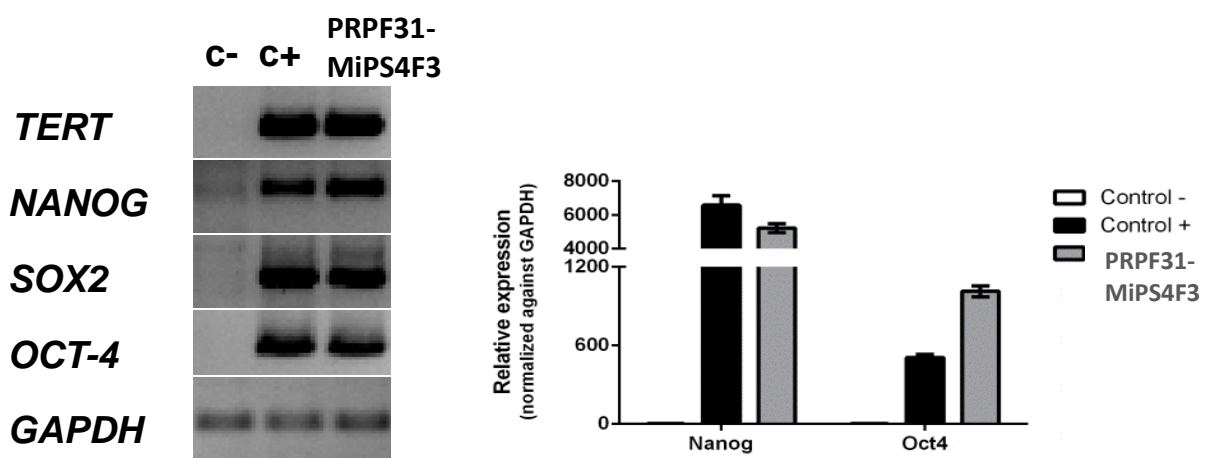
Pluripotency characterization, IF and alkaline phosphatase test (PA).



### rtPCR y Q-PCR de marcadores de pluripotencia

c+ es una línea iPS ya caracterizada; c- son células primarias (PBMCs).

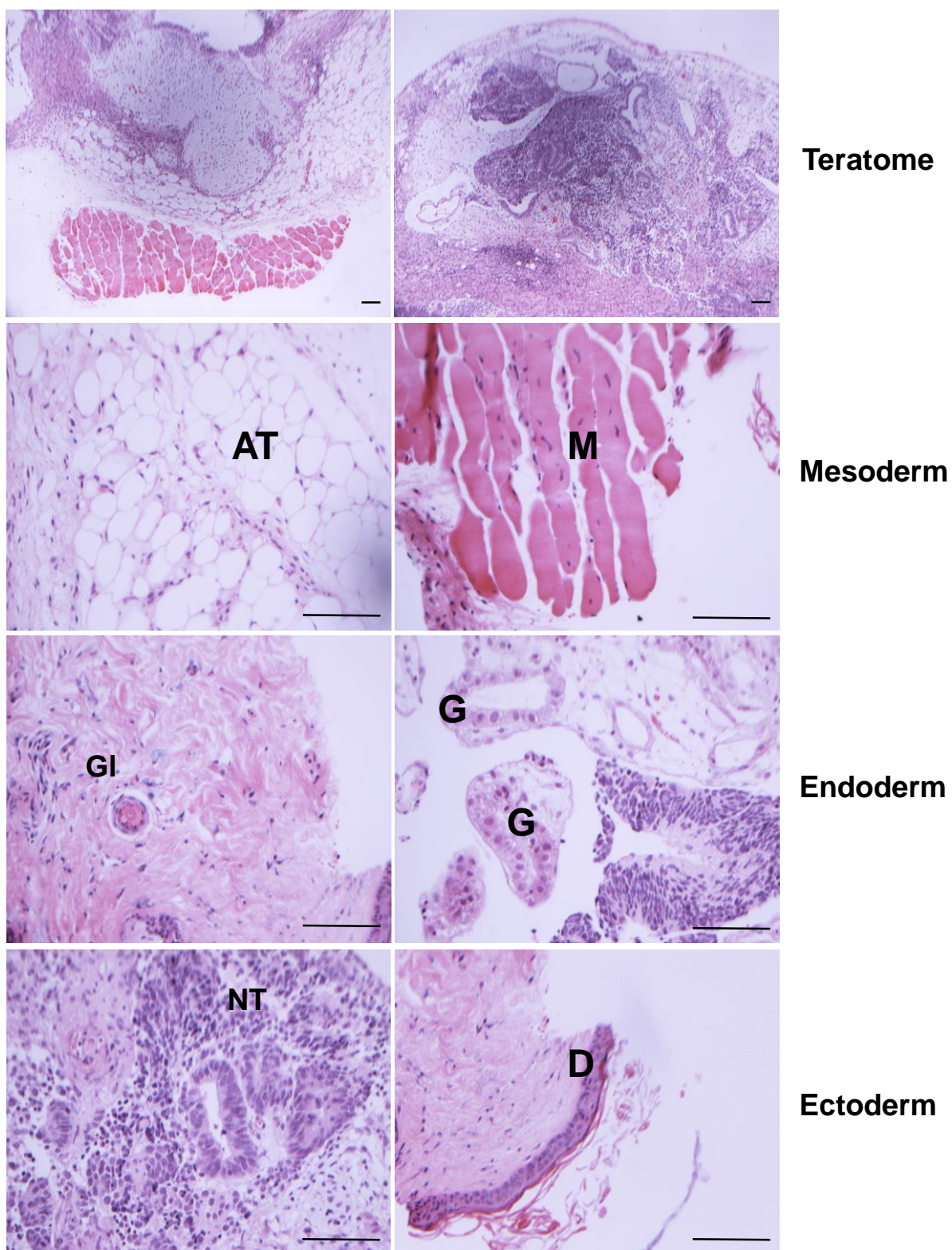
rtPCR of pluripotency factors; c+ is an already characterized iPS cell line; c- are primary PBMCs.



## **ANEXO 6**

### **Análisis de teratoma Hematoxilina/eosina**

*Teratome analysis: haematoxilin/eosin.*



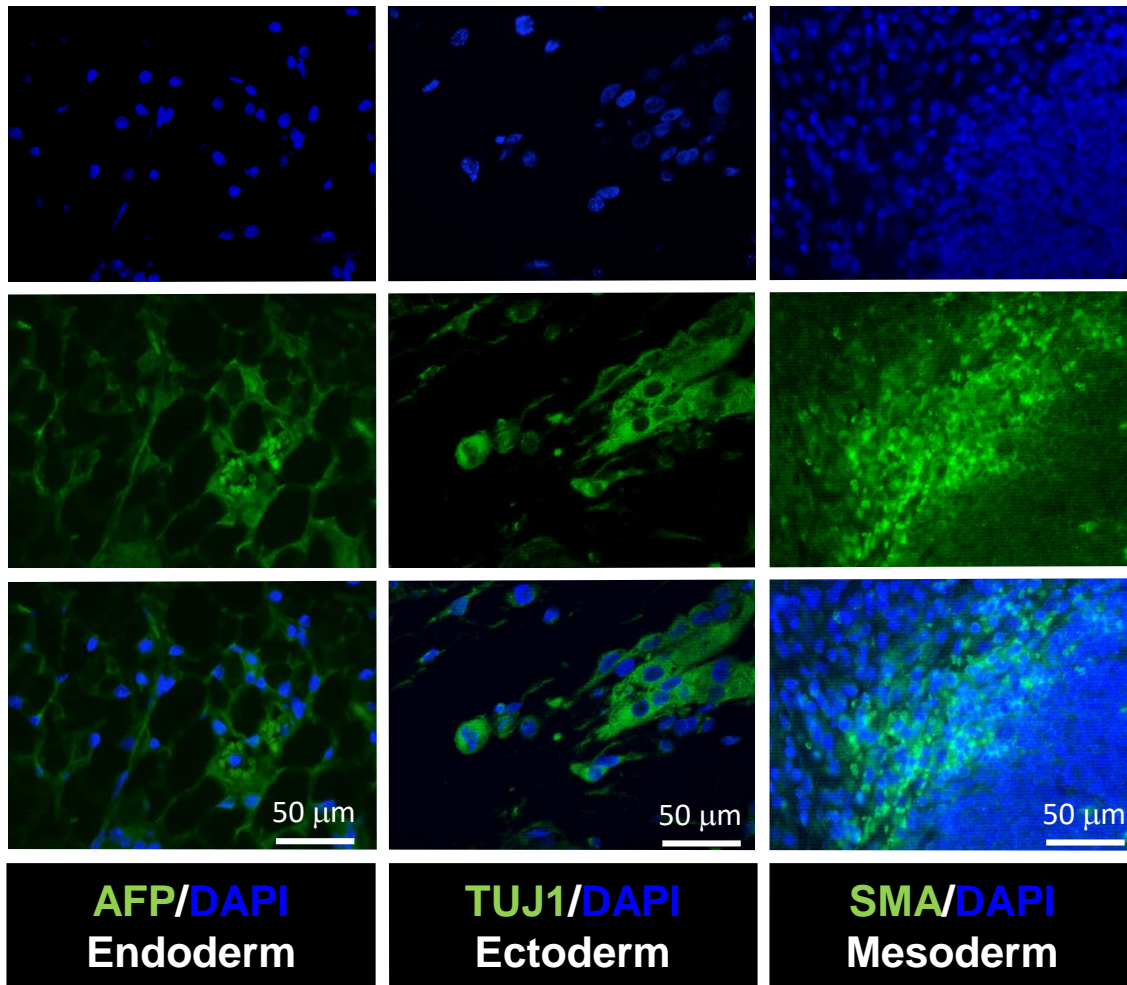
GI, gland, G, gut-like; D, dermis; AT, adipose tissue; M, Muscle; NT; Neural tissue; Scale is 50  $\mu\text{m}$ .

## ANEXO 7

### Análisis de teratoma: IF de marcadores de las tres capas embrionarias.

AFP, alpha fetoprotein; Tuj1, neuron-specific class III b-tubulin; SMA, smooth muscle actin.

*Teratome analysis: IF of one marker of each germ layer.*

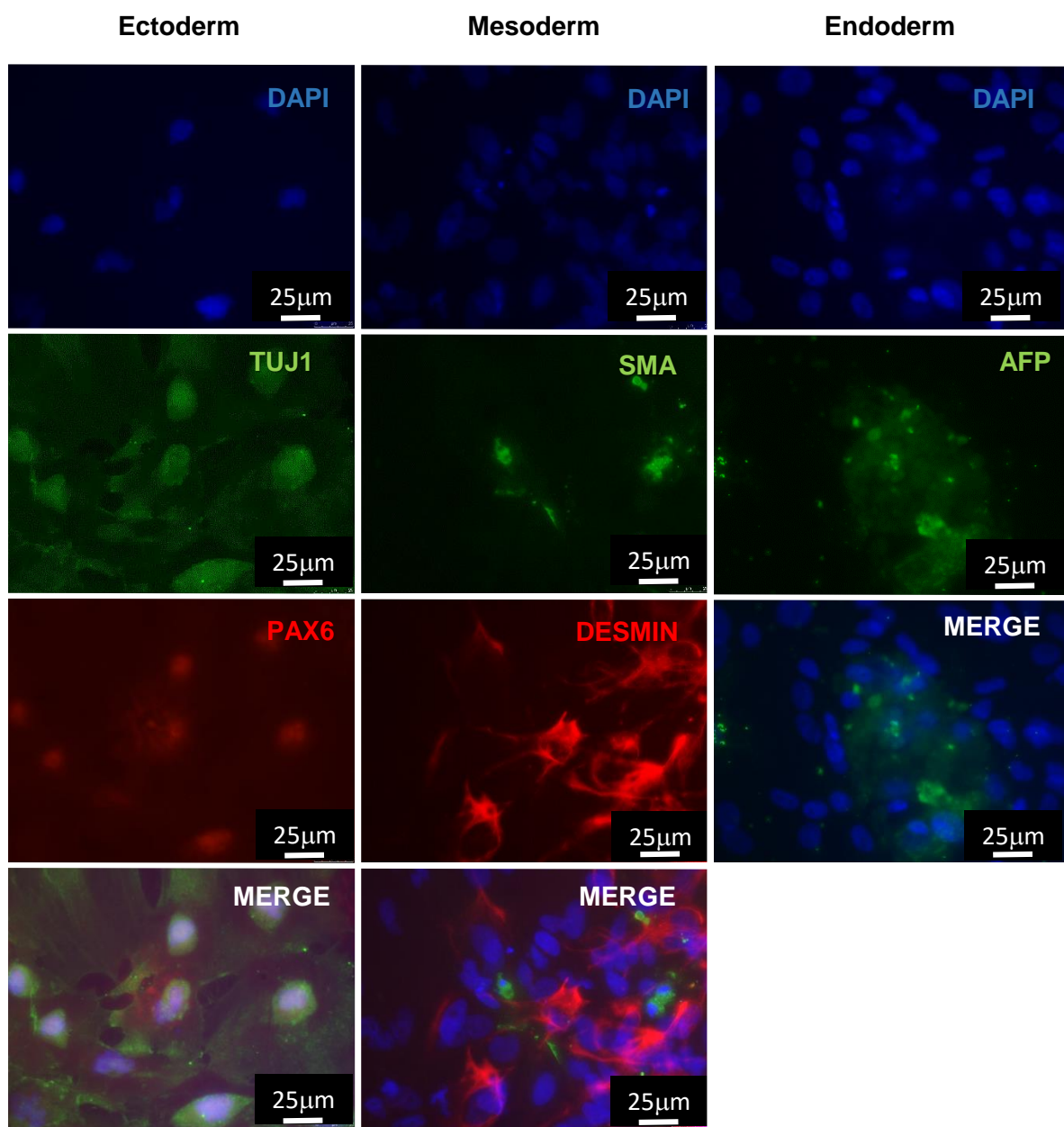


## ANEXO 8

Diferenciación *in vitro*: IF de marcadores de las tres capas embrionarias en cuerpos embrionarios diferenciados a partir de PRPF31-MiPS4F3.

AFP, alpha-fetoprotein; Tuj1, neuron-specific class III b-tubulin; SMA, smooth muscle actin; PAX6, paired box protein; DESMIN (muscle-specific intermediate filament).

*In vitro differentiation: IF of markers of three germ layers in embryoid body generated from PRPF31-MiPS4F3 .*



## **ANEXO 9**

### **Control Micoplasma**

Mycotest realizado para PRPF31-MiPS4F3 con control positivo. La ausencia de amplificación de ADN a 500 pb indica ausencia de micoplasma en el medio de cultivo de PRPF31-MiPS4F3.

*Mycotest using PCR amplification for PRPF31-MiPS4F3 A indicates absence of micoplasm contamination in the culture media compared to a positive control, showing amplification at 500 bp.*

